

浅野-加藤ゲージにおける ゲージ不変量の数値計算

1

理研, 奈良女大理^A 岸本功, 高橋智彦^A

Kishimoto-Takahashi, in preparation
(cf. Kawano-Kishimoto-Takahashi, NPB803(2008)135)

開弦の場の理論の非摂動的真空

○ Schnablの解析解 $\Psi_{\lambda=1}$

非自明なゲージ不変量

(1) 作用の値: D-brane tension

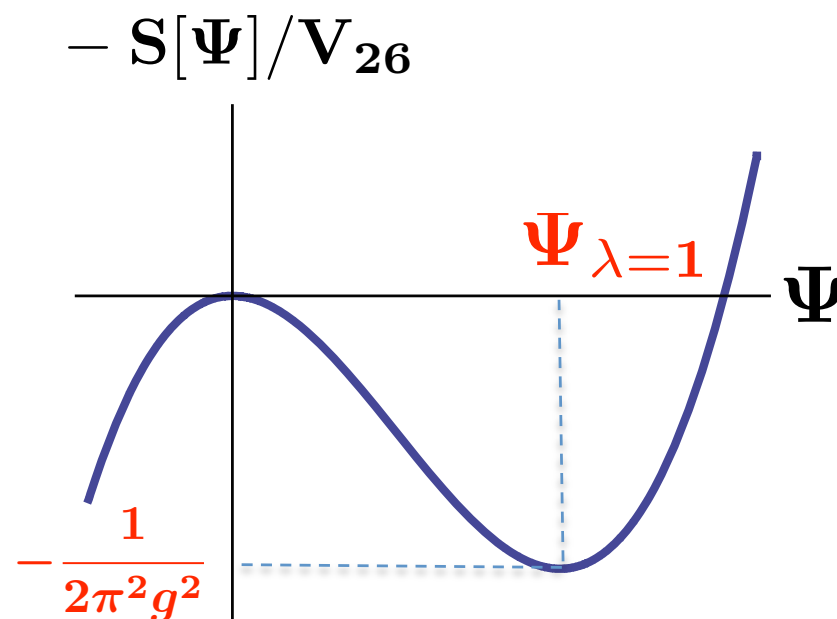
$$S[\Psi_{\lambda=1}]/V_{26} = \frac{1}{2\pi^2 g^2}$$

[Schnabl(2005), Okawa, Fuchs-Kroyter(2006)]

(2) Gauge invariant overlap:

$$\mathcal{O}_\eta(\Psi_{\lambda=1}) = \frac{1}{2\pi}$$

[Ellwood, Kawano-Kishimoto-Takahashi(2008)]



レベルトランケーションによる数値解

- Siegelゲージ : $b_0|\Psi_N\rangle = 0$ の数値解 [Sen-Zwiebach(1999),...]

についてもほぼ同一の値:

$$(1) \quad S[\Psi_{\lambda=1}] \simeq S[\Psi_N]$$

(12,24)近似で 99.98%, (10,30)近似で 99.92%

[Gaiotto-Rastelli(2002)] (18,54)近似で100.05%

$$(2) \quad \mathcal{O}_\eta(\Psi_{\lambda=1}) \simeq \mathcal{O}_\eta(\Psi_N)$$

(12,24)近似で 97.23%, (10,30)近似で 96.81%

[Kawano-Kishimoto-Takahashi(2008)]とその後の計算

$\Psi_{\lambda=1} \sim \Psi_N$: ゲージ同値という期待と整合する !

浅野-加藤ゲージの数値解

- 1-パラメータ a を含むゲージ :

$$(b_0 M + a b_0 c_0 \tilde{Q}) |\Psi_a\rangle = 0$$

のレベルトランケーションによる数値解について

$$(1) \quad S[\Psi_{\lambda=1}] \simeq S[\Psi_a] \quad [\text{Asano-Kato(2006)}]$$

$a = \infty$		96.09%
$a = 4.0$	-ゲージの解 : (6,18)近似で	92.45%
$a = 0.5$		100.45%
$a = -2.0$		97.99%

$$(2) \quad \mathcal{O}_\eta(\Psi_{\lambda=1}) \simeq \mathcal{O}_\eta(\Psi_a) \quad (?) \quad (\text{今回の計算})$$

解が互いにゲージ同値か consistency を調べよう !

CUBIC BOSONIC OPEN STRING FIELD THEORY

作用：
$$S[\Psi] = -\frac{1}{g^2} \left(\frac{1}{2} \langle \Psi, Q\Psi \rangle + \frac{1}{3} \langle \Psi, \Psi * \Psi \rangle \right)$$

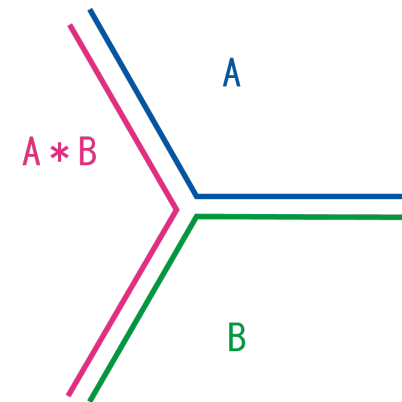
$$|\Psi\rangle = \phi(x)c_1|0\rangle + A_\mu(x)\alpha_{-1}^\mu c_1|0\rangle + iB(x)c_0|0\rangle + \dots$$

$$Q = \oint \frac{dz}{2\pi i} \left(cT^m + bc\partial c + \frac{3}{2}\partial^2 c \right)$$

運動方程式：
$$Q\Psi + \Psi * \Psi = 0$$

ゲージ変換：
$$\delta_\Lambda \Psi = Q\Lambda + \Psi * \Lambda - \Lambda * \Psi$$

$$\rightarrow \delta_\Lambda S[\Psi] = 0$$



GAUGE INVARIANT OVERLAP

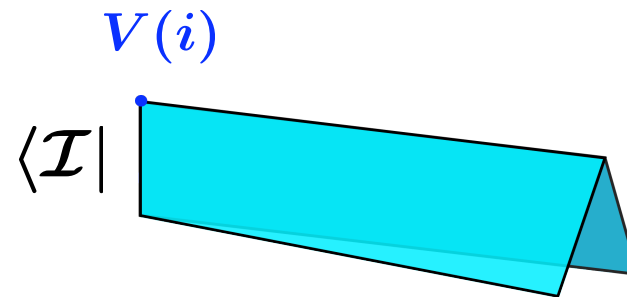
on-shell閉弦状態に対応するゲージ不変量 [Zwiebach(1992),...]

$$\mathcal{O}_V(\Psi) = \langle \mathcal{I} | V(i) | \Psi \rangle = \langle \hat{\gamma}(1_c, 2) | \Phi_V \rangle_{1_c} | \Psi \rangle_2$$

$$|\Phi_V\rangle = c_1 \bar{c}_1 |V_m\rangle$$

on-shellならゲージ不変量：

$$\delta_\Lambda \mathcal{O}_V(\Psi) = 0$$



特にpure gauge解の場合はゼロ：

$$\mathcal{O}_V(e^{-\Lambda} Q e^\Lambda) = 0$$

UNIVERSAL SPACEでの開弦場に対する GAUGE INVARIANT OVERLAP

- 数値計算では $|V_m\rangle = \frac{-1}{26} \eta_{\mu\nu} \alpha_{-1}^\mu \bar{\alpha}_{-1}^\nu |0\rangle$
の場合のgauge invariant overlap $\mathcal{O}_\eta(\Psi)$ を評価する。

- 開弦場として、twist evenで

$$L_{-n_1}^{(m)} \cdots L_{-n_p}^{(m)} b_{-j_1} \cdots b_{-j_q} c_{-k_1} \cdots c_{-k_q} c_1 |0\rangle$$

の線形結合で表されるもの: Ψ_{univ} だけを考える。このとき V_m のnormalizationをfixすると $\mathcal{O}_V(\Psi_{\text{univ}})$ は V_m に依存しない。

$$\Psi_{\text{univ}} = (t_1 + t_2 b_{-1} c_{-1} + t_3 L_{-2}^{(m)} + t_4 b_{-3} c_{-1} + t_5 b_{-2} c_{-2} + t_6 b_{-1} c_{-3} + t_7 L_{-2}^{(m)} b_{-1} c_{-1} + t_8 L_{-4}^{(m)} + t_9 (L_{-2}^{(m)})^2 + \cdots) c_1 |0\rangle$$

のとき

$$\mathcal{O}_V(\Psi_{\text{univ}}) = \frac{1}{4} t_1 - \frac{1}{4} t_2 - \frac{3}{4} t_3 + \frac{1}{4} t_5 + \frac{3}{4} t_7 + \frac{3}{2} t_8 + \frac{11}{2} t_9 + \cdots$$

浅野-加藤ゲージについて

○ a-ゲージ : $(b_0 M + a b_0 c_0 \tilde{Q}) |\Psi_a\rangle = 0$

- ここで $Q = \tilde{Q} + c_0 L_0 + b_0 M$
- L_0 -レベル, universal space, twist evenを保存。

➡ レベルランケーションと相性がよい

- $a = 0$: Siegelゲージ $b_0 |\Psi_0\rangle = 0$ と等価
- $a = \infty$: Landauゲージ $b_0 c_0 \tilde{Q} |\Psi_\infty\rangle = 0$

各ゲージでの数値解の構成

- 弦場をuniversal, twist evenでレベルLまで用意： Ψ_L

$$\begin{aligned} \Psi_L = & (t_1 + t_2 b_{-1} c_{-1} + t_3 L_{-2}^{(m)} + t_4 b_{-3} c_{-1} + t_5 b_{-2} c_{-2} + t_6 b_{-1} c_{-3} \\ & + t_7 L_{-2}^{(m)} b_{-1} c_{-1} + t_8 L_{-4}^{(m)} + t_9 (L_{-2}^{(m)})^2 + \dots) c_1 |0\rangle \\ & + (\tilde{t}_1 b_{-1} + \tilde{t}_2 b_{-4} + \tilde{t}_3 b_{-2} b_{-1} c_{-1} + \tilde{t}_4 L_{-2}^{(m)} b_{-2} + \tilde{t}_5 L_{-3}^{(m)} b_{-1} + \dots) c_0 c_1 |0\rangle \end{aligned}$$

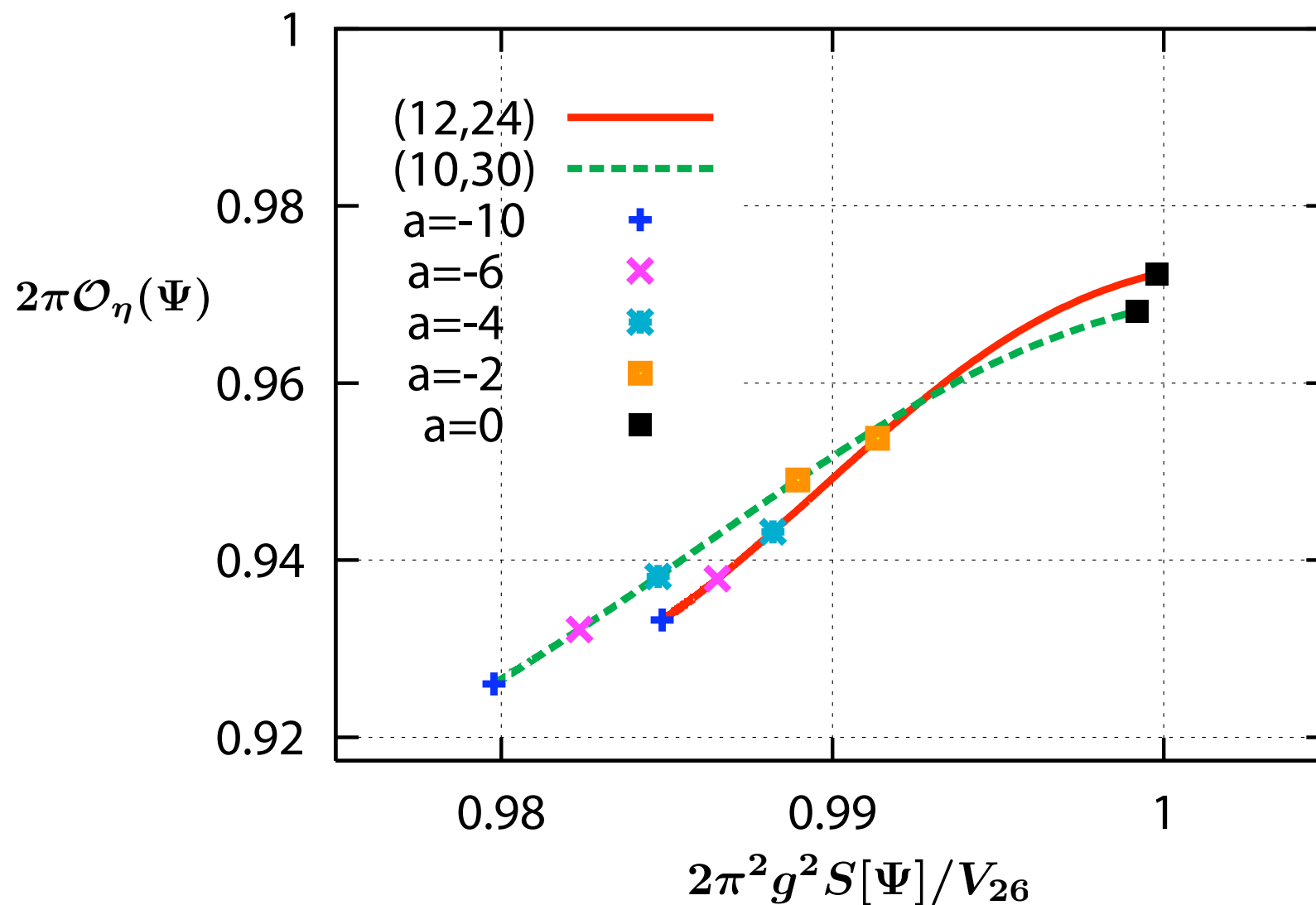
- ゲージ条件をあらわに解いたものを作用に代入：

$$\begin{aligned} \frac{S[\Psi_L|a]}{-2\pi^2 g^2 V_{26}} = & -\frac{1}{2} t_1^2 + \frac{27}{64} \sqrt{3} t_1^3 - \frac{33}{64} \sqrt{3} t_1^2 t_2 + \frac{9}{16} \sqrt{3} a t_1^2 t_2 - \frac{t_2^2}{2} - \frac{9}{4} a t_2^2 + \frac{9}{8} a^2 t_2^2 + \frac{19 t_1 t_2^2}{64 \sqrt{3}} + \frac{3}{8} \sqrt{3} a t_1 t_2^2 + \frac{3}{16} \sqrt{3} a^2 t_1 t_2^2 \\ & - \frac{t_2^3}{64 \sqrt{3}} - \frac{703 a t_2^3}{432 \sqrt{3}} + \frac{47 a^2 t_2^3}{144 \sqrt{3}} - \frac{195}{64} \sqrt{3} t_1^2 t_3 + \frac{39}{16} \sqrt{3} a t_1^2 t_3 - \frac{39}{2} a t_2 t_3 + \frac{39}{4} a^2 t_2 t_3 + \frac{715 t_1 t_2 t_3}{96 \sqrt{3}} - \frac{13 a t_1 t_2 t_3}{4 \sqrt{3}} \\ & + \frac{13}{8} \sqrt{3} a^2 t_1 t_2 t_3 - \frac{1235 t_2^2 t_3}{1728 \sqrt{3}} - \frac{12649 a t_2^2 t_3}{1296 \sqrt{3}} + \frac{637 a^2 t_2^2 t_3}{432 \sqrt{3}} + \frac{13 t_3^2}{2} - \frac{169}{4} a t_3^2 + \frac{169}{8} a^2 t_3^2 + \frac{7553 t_1 t_3^2}{192 \sqrt{3}} - \frac{845 a t_1 t_3^2}{24 \sqrt{3}} \\ & + \frac{169 a^2 t_1 t_3^2}{16 \sqrt{3}} - \frac{83083 t_2 t_3^2}{5184 \sqrt{3}} + \frac{2483 a t_2 t_3^2}{432 \sqrt{3}} - \frac{7267 a^2 t_2 t_3^2}{1296 \sqrt{3}} - \frac{272363 t_3^3}{5184 \sqrt{3}} + \frac{98189 a t_3^3}{1296 \sqrt{3}} - \frac{10985 a^2 t_3^3}{432 \sqrt{3}} + \dots \end{aligned}$$

- 微分して多変数二次方程式を解く： $\partial_{t_i} S[\Psi_L|a] = 0$

(レベル0の非自明解 $\Psi_0 = \frac{64}{81\sqrt{3}} c_1 |0\rangle$ に「近い」ものを探す。)

数値計算の結果 *MATHEMATICA6*



逐次近似による解の構成

- 初期値 $\Psi_0 = \frac{64}{81\sqrt{3}}c_1|0\rangle$ から始めて逐次近似をする：

$$\Psi_{n+1} = P_{\Psi_n}(\Psi_n * \Psi_n) \quad [\text{Gaiotto-Rastelli(2002)}]$$

- $n \rightarrow \infty$ で収束すれば運動方程式（の一部）を満たす：

$$\mathcal{P}(Q\Psi_\infty + \Psi_\infty * \Psi_\infty) = 0$$

- ここで $(b_0M + a b_0 c_0 \tilde{Q})\Psi_{n+1} = 0$

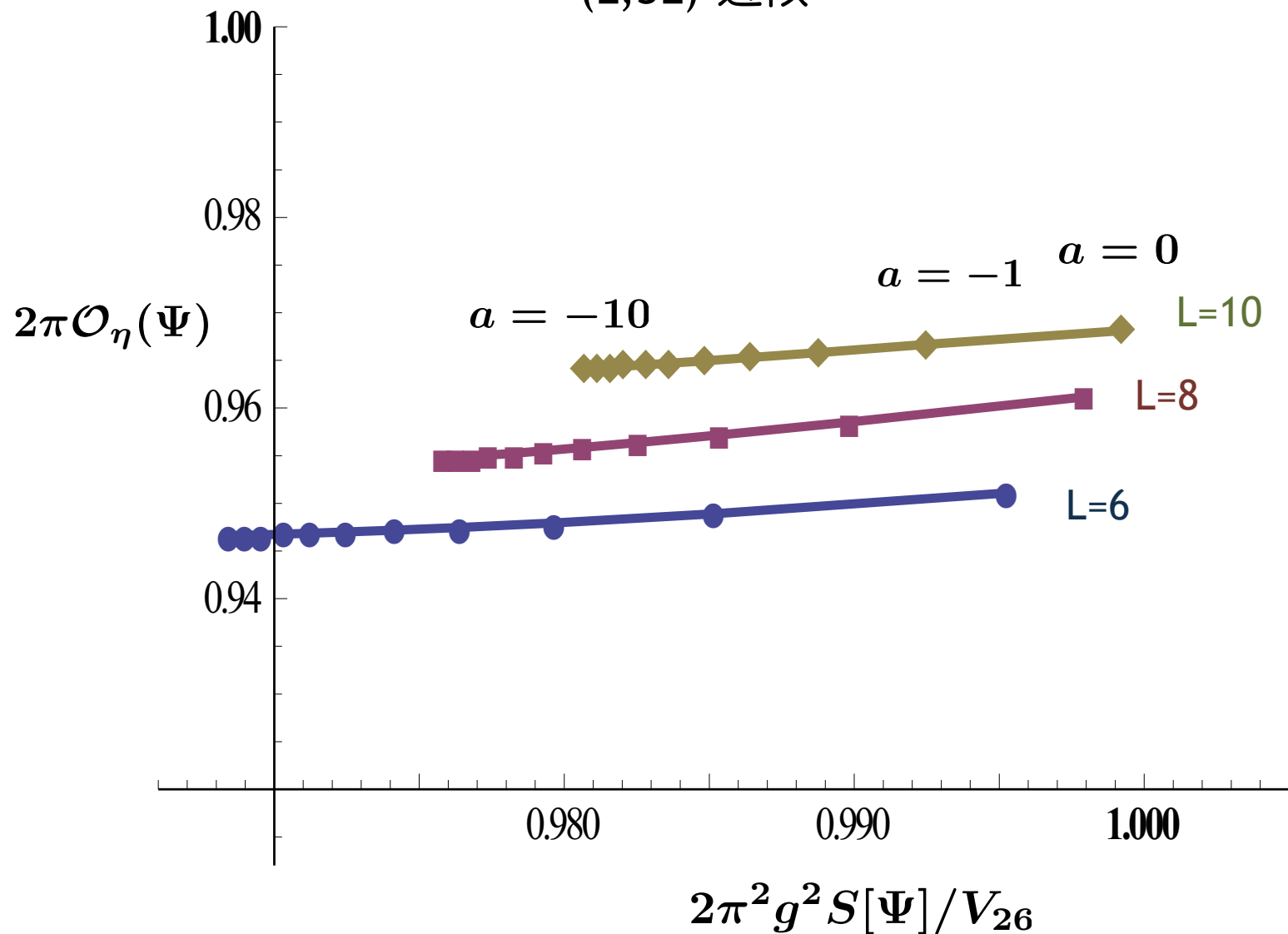
$$\mathcal{P}(Q_{\Psi_n}\Psi_{n+1} - \Psi_n * \Psi_n) = 0 \quad P_{\Psi_n} \sim (Q_{\Psi_n})^{-1}$$

$$Q_{\Psi_n}\Phi \equiv Q\Phi + \Psi_n * \Phi - (-1)^{|\Phi|}\Phi * \Psi_n$$

- 実際の数値計算ではprojectionは $\mathcal{P} = c_0 b_0$ としてレベルトラッキングをした。

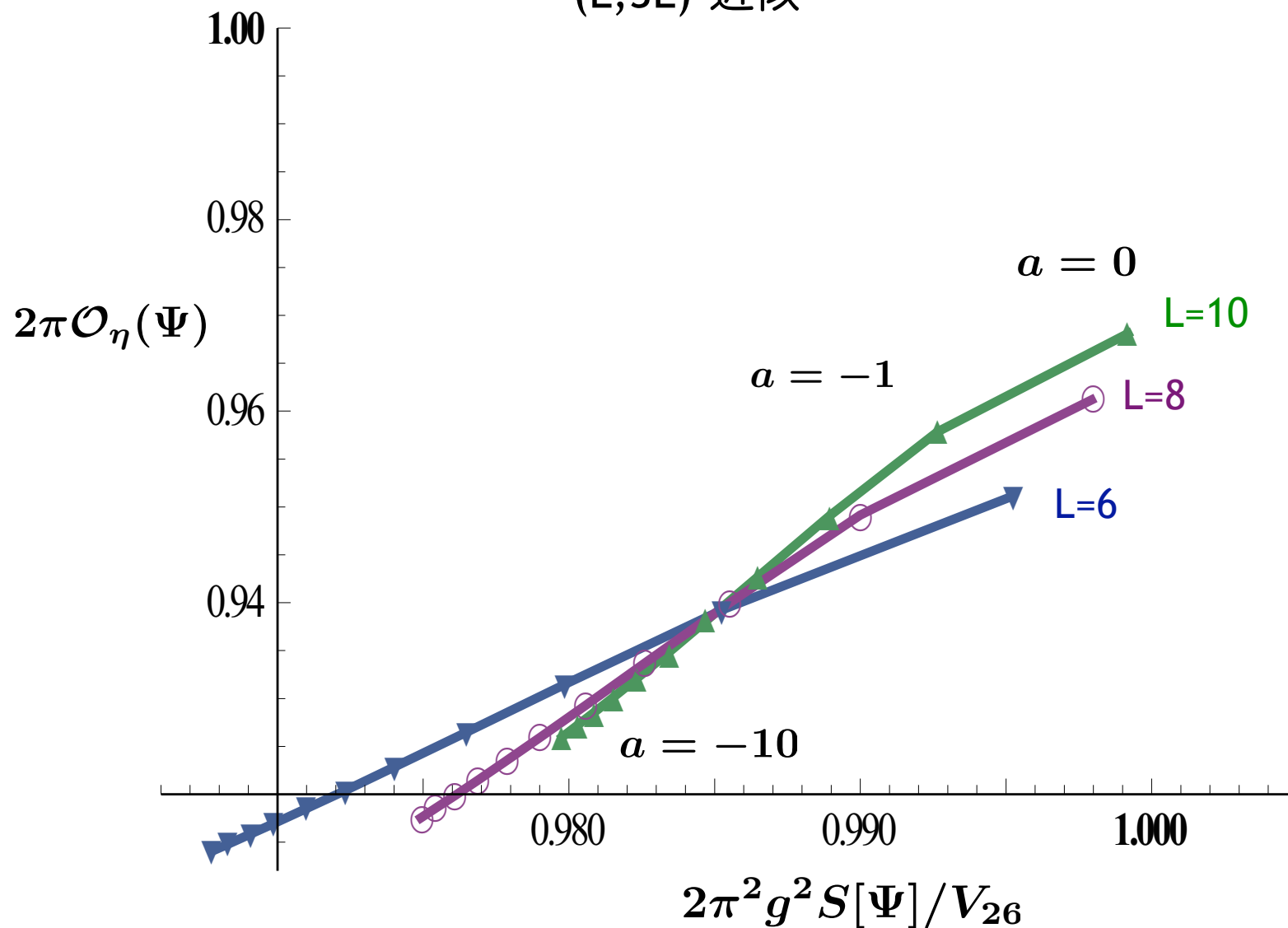
逐次近似による数値計算 $\mathcal{P} = c_0 b_0$

(L,3L)-近似



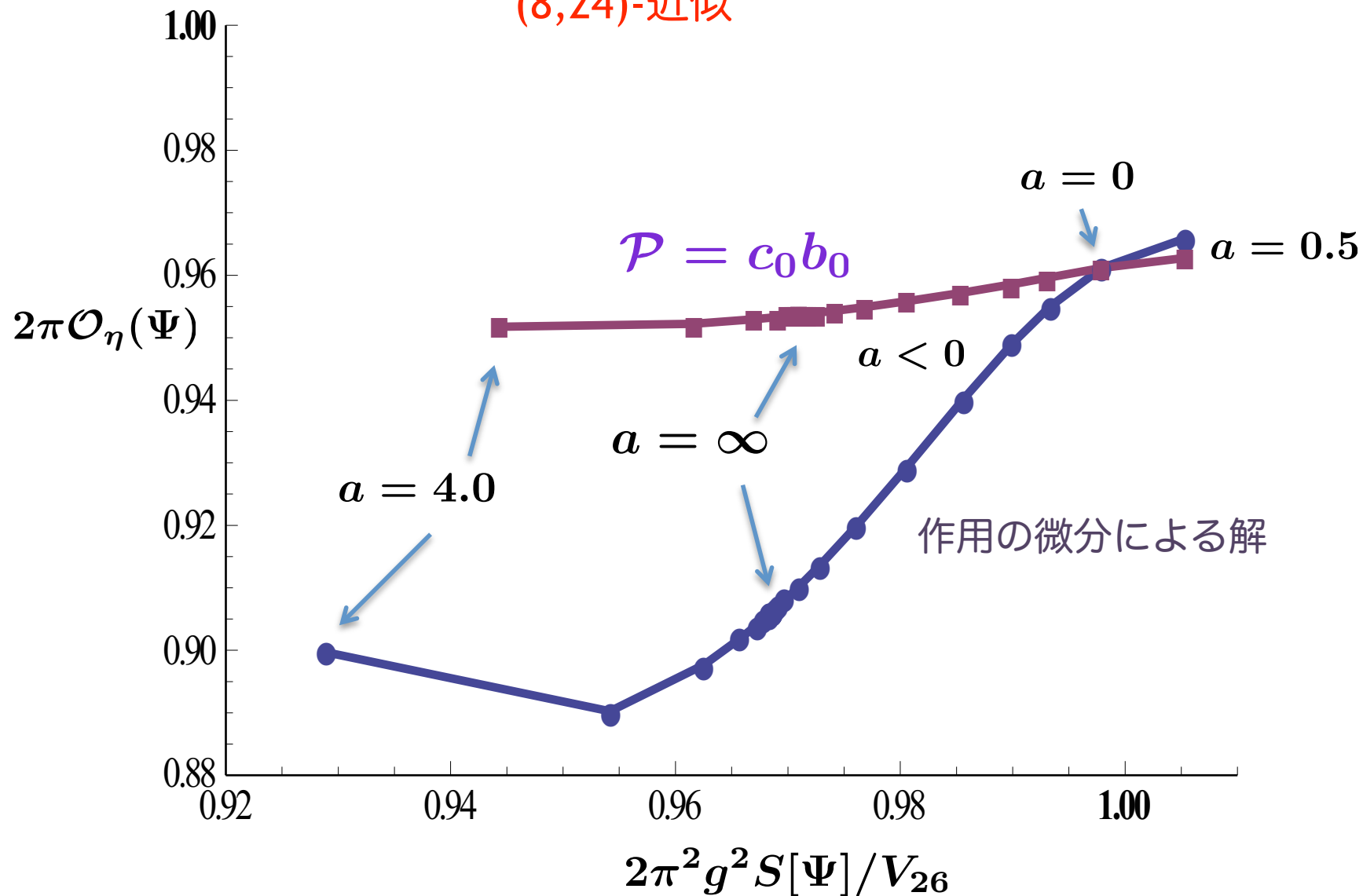
作用の微分で求めた解の場合

(L,3L)-近似



ゲージをさらに変えていくと...

(8,24)-近似



まとめ

- a-ゲージにおけるレベルトランケーションの数値解を(12,24)近似、(10,30)近似まで構成した。
- どのゲージの解でも、Schnablの解析解と同じゲージ不変量の値(action, gauge invariant overlap)をおおむね再現する。
- これらの数値解は全てSchnablの解析解とゲージ同値でuniqueな非摂動論的真空を表す解である、という期待と整合する。

(これらの解はゲージ同値であることを前提とすると)

- ゲージによりレベルトランケーションの精度は違う。
- Gauge invariant overlapのほうがactionより収束が遅い。
- 運動方程式の「project outされる部分」(BRST不変性)については、解の構成法により収束性が違い、一般には「ノルム収束」はしていないように見える。

運動方程式について

- ゲージ固定した作用の微分も、逐次近似法も、運動方程式をprojectした部分しか保証していない：

$$\mathcal{P}(Q\Psi + \Psi * \Psi) = 0$$

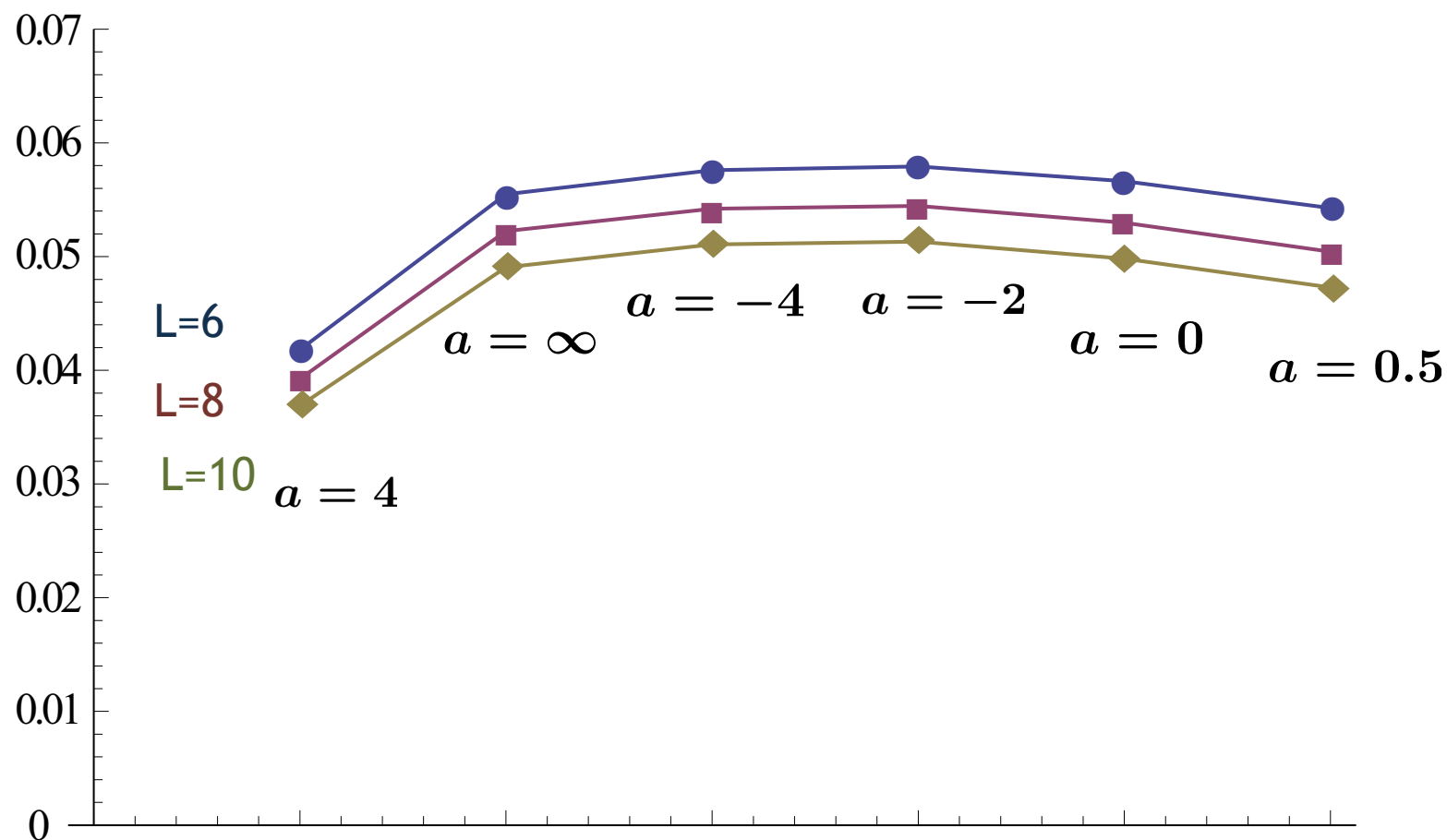


古典解であるためには運動方程式のproject outされた部分も満たすべき。 (解のBRST不変性) [Hata-Shinohara(2000)]

$$(1 - \mathcal{P})(Q\Psi + \Psi * \Psi) = 0 \quad (?)$$

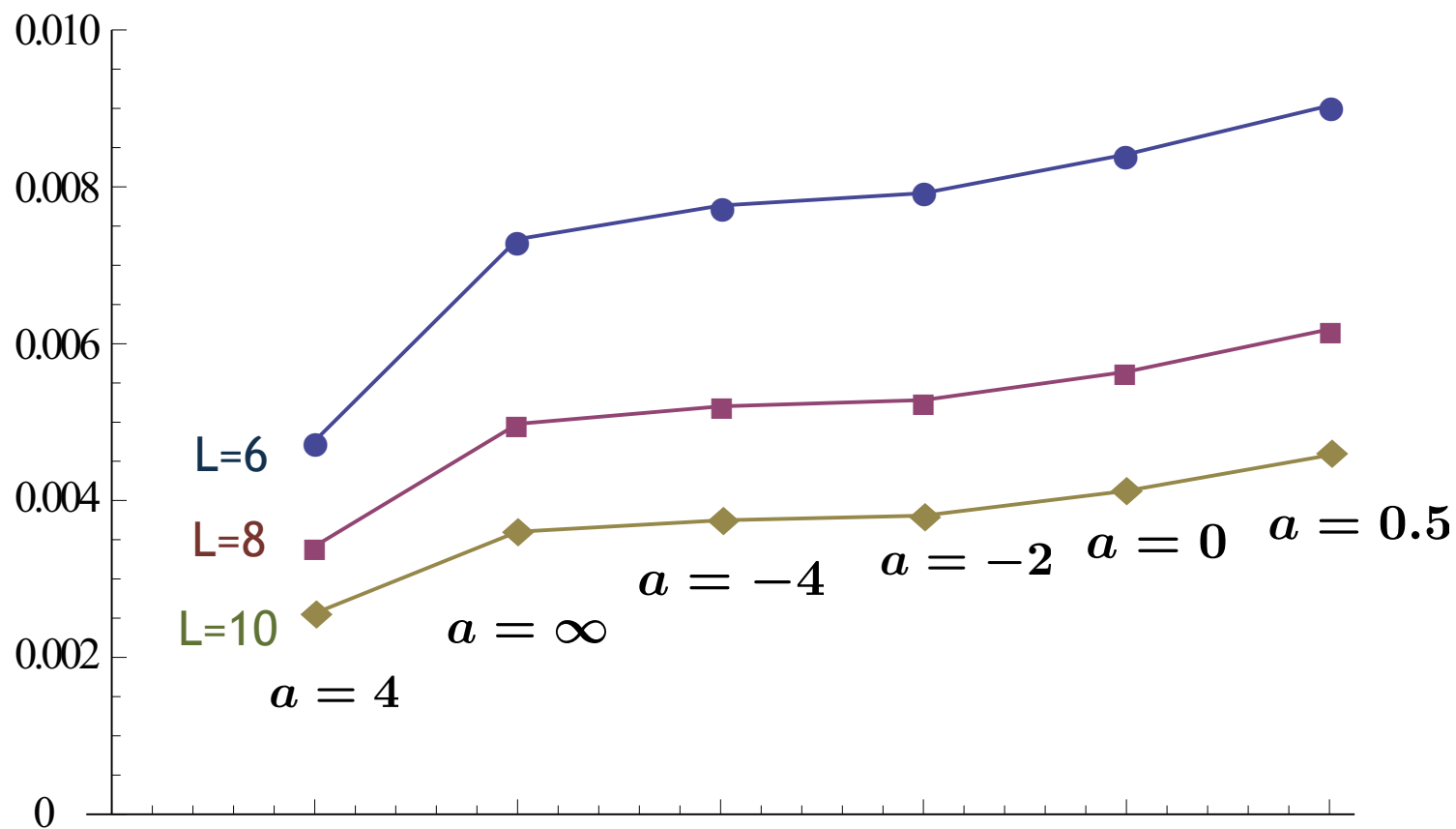
運動方程式の「ノルム」の評価 $\mathcal{P} = c_0 b_0$

$$\frac{\|Q\Psi + \Psi * \Psi\|}{\|\Psi\|}$$



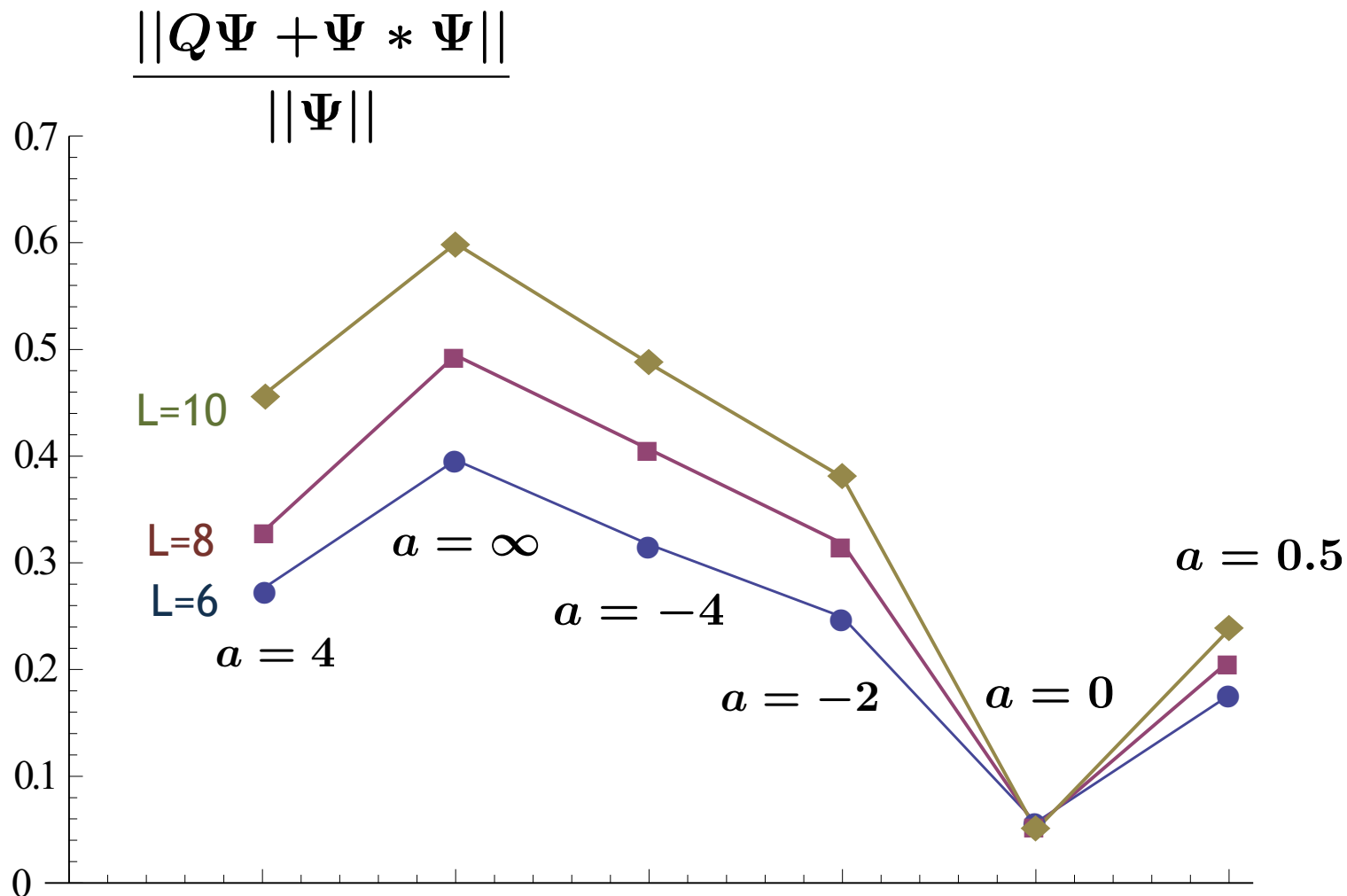
運動方程式の各係数の評価 $\mathcal{P} = c_0 b_0$

$b_0 c_0 (Q\Psi + \Psi * \Psi)$ のうち最低レベルの $c_{-2} c_1 |0\rangle$ の係数



運動方程式の「ノルム」の評価

ゲージ固定した作用の微分による解の場合



運動方程式の各係数の評価

$a = \infty$ (Landauゲージ) で
ゲージ固定した作用の微分による「解」の場合
 $c_0 b_0 (Q\Psi + \Psi * \Psi)$ に含まれる状態の係数：

	$c_{-1} c_0 0\rangle$	$L_{-2}^{(m)} c_0 c_1 0\rangle$
(2,4)	0.0383157	-0.0127719
(4,12)	0.0326549	-0.0108849
(6,18)	0.0330091	-0.011003
(8,24)	0.0340895	-0.0113632
(10,30)	0.0348611	-0.0116204